

УДК 523.45—87

## Оппозиционный эффект спутника Юпитера Каллисто для $\lambda = 0.407$ — $0.755$ мкм

В. В. Аврамчук, В. И. Шавловский

Проведены фотоэлектрические наблюдения спутника Юпитера Каллисто в спектральной области  $\lambda\lambda 0.347$ — $0.792$  мкм с использованием 11 интерференционных фильтров (92 ночи, 1980—1983, 1985 гг.). Получена зависимость оппозиционного эффекта ведущего и ведомого полушарий от длины волны в области  $\lambda\lambda 0.407$ — $0.792$  мкм. Для обоих полушарий значение оппозиционного эффекта увеличивается при уменьшении отражательной способности с уменьшением длины волны. При этом ведущее полушарие спутника имеет больший оппозиционный эффект ( $0.21$ — $0.29^m$ ) по сравнению с ведомым ( $0.15$ — $0.18^m$ ) для всей исследованной спектральной области.

*THE OPPOSITION EFFECT OF THE JUPITER SATELLITE CALLISTO (0.407—0.755 μm), by Avramchuk V. V., Shavlovskij V. I.—Photoelectric observations of the Jupiter satellite Callisto were carried out in the spectral region 0.347—0.792 μm using 11 interference filters during 92 nights in 1980—1983, 1985. The dependence of the opposition effect on wavelength was obtained in the spectral region 0.407—0.755 μm. The opposition effect for the leading and trailing hemispheres increases as reflectivity falls with a decreasing of the wavelength. In the whole observed spectral region the leading hemisphere has a more significant opposition effect (0.21—0.29<sup>m</sup>) than the trailing (0.15—0.18<sup>m</sup>) one.*

В работе [9] впервые установлено, что у спутника Юпитера Каллисто наблюдается заметный оппозиционный эффект, т. е. избыток яркости при небольших фазовых углах по сравнению с линейным ходом фазовой кривой [1], и ведущее и ведомое его полушария имеют разные пики яркости в оппозиции (при одинаковом линейном ходе фазовой кривой для  $a=6$ — $12^\circ$ ). Величина оппозиционного эффекта ведущего полушария (для орбитального фазового угла  $\theta=0$ — $180^\circ$ ) достигает  $\Delta m=0.32^m$ , а ведомого ( $\theta=180$ — $360^\circ$ ) — составляет  $\Delta m \approx 0.12^m$  [3]. Эти наблюдения выполнены с помощью широкополосного фильтра, центрированного на длину волны  $\lambda=0.45$  мкм.

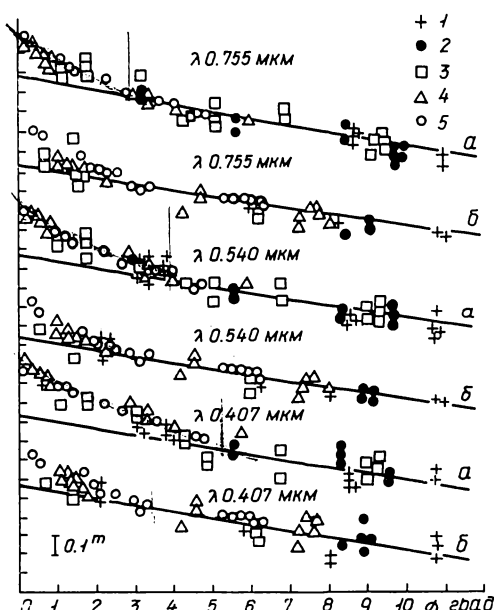
Позже результаты, представленные в [9], были дополнены и уточнены данными [1, 3, 5 и др.]. Как правило, в отмеченных работах наблюдения проводились с использованием только фильтров, близких к международной системе *V*. Лишь в [7] использовались фильтры *b* ( $\lambda=0.472$  мкм) и *y* ( $\lambda=0.551$  мкм) среднеполосной системы *u, v, b, y*. Зависимость оппозиционного эффекта от длины волны до сих пор не определялась.

В то же время известно, что для изучения природы оппозиционного эффекта и его связи с микроструктурой и оптическими параметрами отражающей поверхности важно найти не только величину этого эффекта, но и его зависимость от длины волны. В частности, не ожидается сильной зависимости эффекта оппозиции от длины волны, если он обусловлен затенением одних частей поверхности другими вдали от противостояния. В этом случае для шероховатой поверхности можно пренебречь эффектами многократного рассеяния света [1]. Если же увеличение яркости вблизи противостояния обусловлено другими причинами (например, гlorия на прозрачных частицах, рассеяние света на углковых отражателях и др.), то зависимость от длины волны может быть весьма сложной.

Настоящая работа посвящена изучению зависимости эффекта оппозиции от длины волны для ведущего и ведомого полушарий Каллисто.

Наблюдения проводились в течение 92 ночей в периоды видимости Юпитера в 1980—1983 и 1985 гг. с помощью 60-см рефлектора ГАО АН УССР (УзССР, гора Майданак, высота 2750 м) и фотоэлектрического фотометра, работающего в режиме счета фотонов. При наблюдениях использовались 11 интерференционных фильтров ( $\Delta\lambda/\lambda \approx 2\%$ ) в спектральной области  $\lambda\lambda 0.347$ — $0.792$  мкм. Приведенные результаты получены с фильтрами, центрированными на длины волн  $0.407$ ,  $0.540$  и  $0.755$  мкм.

Для каждого сезона наблюдений подбиралась звезда сравнения, имеющая спектральный класс, близкий к солнечному, и расположенная на малом угловом расстоянии от Юпитера. В качестве основного



Зависимость величины оппозиционного эффекта  $\Delta t$  и геометрического альбедо  $P$  от длины волны  $\lambda$

$\lambda$ , мкм	Полушарие			
	Ведущее		Ведомое	
	$\Delta t$	$P$	$\Delta t$	$P$
0.755	0.21 <sup>m</sup>	0.25	0.15 <sup>m</sup>	0.25
0.540	0.27	0.22	0.15	0.21
0.407	0.29	0.17	0.18	0.17

◀ Зависимость звездной величины Каллисто от солнечного фазового угла  $\alpha$ . Полушарие:  $a$  — ведущее,  $b$  — ведомое. Наблюдения: 1 — 1980 г.; 2 — 1981 г.; 3 — 1982 г.; 4 — 1983 г.; 5 — 1985 г.

фотометрического стандарта использовалась звезда  $\lambda$  Vir [4]. Вторичные фотометрические стандарты для каждого сезона наблюдений определялись путем привязки к этой звезде, которая осуществлялась параллельно с наблюдениями спутника на той же аппаратуре. Каждую ночь определялись спектральные коэффициенты прозрачности земной атмосферы. Внутренняя сходимость относительной привязки звезд-стандартов друг к другу оказалась лучше 1 %. Это позволило привести наблюдения спутника за пять сезонов в одну систему и получить для него достаточно надежные фазовые кривые.

При отсчете на звезду или спутник накапливалось примерно  $10^4$ — $10^5$  импульсов, что обеспечивало статистическую точность измерения светового потока лучше 1 %.

**Вычисление звездных величин спутника.** Так как фотометрические измерения Каллисто использовались не только для построения солнечных фазовых кривых (в относительных единицах), но и для определения геометрического альбедо спутника, то в качестве основной расчетной формулы удобно использовать выражение

$$m_\lambda = -2.5 \lg \left\{ E_\lambda^* \frac{I_{\lambda}^{cp}}{I_\lambda^*} \left[ \frac{rl}{a(a-1)} \right]^2 p_\lambda^{\Delta M} \right\},$$

где  $m_\lambda$  — звездная величина спутника для длины волны  $\lambda$ ;  $E_\lambda^*$  — внешнепланетная монохроматическая освещенность от звезды;  $I_{\lambda}^{cp}$  и  $I_\lambda^*$  — измеренные интенсивности излучения спутника и звезды сравнения;  $r$  и  $l$  — гелиоцентрические и геоцентрические расстояния спутника;  $a$  —

большая полуось орбиты Юпитера;  $r_\lambda$  — спектральный коэффициент прозрачности земной атмосферы;  $\Delta M$  — разность воздушных масс для звезды сравнения и спутника.

В одной серии наблюдений (при фиксированных значениях  $\alpha$  и  $\theta$ ) интенсивность спутника измерялась 3—4 раза, что позволило уменьшить случайные ошибки учета фона неба возле яркого диска Юпитера. При этом средняя квадратичная ошибка составляла 2—3 %.

**Определение оппозиционного эффекта Каллисто.** На рисунке представлены полученные солнечные фазовые кривые Каллисто для трех участков спектра. Данные усреднялись отдельно для ведущего и ведомого полушарий. Некоторый разброс точек на полученных кривых обусловлен реальными вариациями блеска спутника в пределах каждого полушария и трудностями многолетних привязок.

Для определения величины оппозиционного эффекта линейная часть фазовой кривой (для  $\alpha \geqslant 6^\circ$ ) аппроксимировалась прямой, найденной по методу наименьших квадратов. Для момента оппозиции звездная величина спутника определялась непосредственно из наблюдательных данных, а не путем экстраполяции фазовой кривой на угол  $\alpha = 0$ , как делали ранее многие авторы. Это стало возможным благодаря тому, что нам удалось получить достаточно многочисленные и надежные оценки блеска Каллисто вблизи нулевой фазы.

Зависимость оппозиционного эффекта и геометрического альбедо [2] ведущего и ведомого полушарий Каллисто от длины волны приведена в таблице. Суммарная ошибка в определении величины оппозиционного эффекта, состоящая из ошибок определения блеска спутника при  $\alpha = 0$  и ошибок линейной аппроксимации, достигает 4—5 %. Отметим, что полученные нами значения оппозиционного эффекта ведущего ( $0.27''$ ) и ведомого ( $0.15''$ ) полушарий Каллисто для  $\lambda = 0.540$  мкм хорошо согласуются с результатами [3] для фильтра  $V$  ( $0.25$  и  $0.13''$  соответственно).

Как видно из таблицы, оппозиционный эффект ведущего полушария заметно увеличивается с уменьшением длины волны. Такая же тенденция наблюдается и в случае ведомого полушария. Кроме того, геометрическое альбедо уменьшается в коротковолновую область спектра. При этом обратную корреляцию между величиной оппозиционного эффекта и отражательной способностью для Каллисто, по-видимому, можно объяснить, рассматривая функции затенения элементов поверхности [1]. Функция затенения определяется в основном характером взаимного расположения (упаковкой) частиц, образующих поверхность, т. е. пористостью поверхности. Существенное различие оппозиционного эффекта для ведущего и ведомого полушарий Каллисто (при почти одинаковом геометрическом альбедо) требует изучения дополнительных причин, приводящих к появлению этого эффекта.

Таким образом, можно сделать вывод о том, что для исследованной области спектра ведущее полушарие Каллисто имеет больший оппозиционный эффект, чем ведомое. С уменьшением геометрического альбедо (при уменьшении длины волны) увеличивается оппозиционный эффект обоих полушарий и увеличиваются различия между ними.

Этот результат согласуется с данными лабораторных исследований [6], которые показали, что эффект противостояния больше в той области спектра, где отражательная способность меньше. Подобное явление обнаружено [8] у Марса и лабораторных образцов с поверхностью, аналогичной поверхности Марса.

Для линейных фазовых коэффициентов ( $\alpha > 6^\circ$ ) мы не нашли какой-либо зависимости от длины волны и их различий для ведущего и ведомого полушарий Каллисто. По нашим измерениям среднее значение линейного фазового коэффициента для Каллисто:  $\beta = 0.034 \pm 0.004$  зв. вел/град, что неплохо согласуется со значением  $\beta = 0.032 \pm 0.005$  зв. вел/град, полученным в работе [1].

1. Веверка Дж. Фотометрия поверхности спутников // Спутники планет / Под ред. Дж. Бернса.— М. : Мир, 1980.— С. 203—243.
2. Довгопол А. Н., Шавловский В. И. Оптические характеристики галилеевых спутников Юпитера в спектральной области 0.347—0.792 мкм. I. Зависимость отражательной способности от орбитального фазового угла вблизи оппозиции // Кинематика и физика небес. тел.— 1985.— 1, № 4.— С. 29—36.
3. Моррисон Д., Моррисон Н. Фотометрия галилеевых спутников // Спутники планет / Под ред. Дж. Бернса.— М. : Мир, 1980.— С. 402—417.
4. Харитонов А. В., Терещенко В. М., Князева Л. Н. Сводный спектрофотометрический каталог звезд.— Алма-Ата: Наука, 1978.— 197 с.
5. Blanco C., Catalano S. On the photometric variations of the Saturn and Jupiter satellites // Astron. and Astrophys.— 1974.— 33, N 1.— P. 105—111.
6. Coffeen D. L. Wavelength dependence of polarization. IV. Volcanic cinders and particles // Astron. J.— 1965.— 70, N 6.— P. 403—413.
7. Lockwood G. W., Thompson D. T., Lumme K. A. A possible detection of solar variability from photometry of Io, Europa, Callisto, and Rhea, 1976—1979 // Ibid.— 1980.— 85, N 7.— P. 961—968.
8. O'Leary B. T., Rea D. G. The opposition effect on Mars and its implications // Icarus.— 1968.— 9, N 3.— P. 405—428.
9. Stebbins J., Jacobsen T. S. Further photometric measures of Jupiter's satellites and Uranus, with tests for the solar constant // Lick Observ. Bull.— 1928.— 13, N 401.— P. 180—195.

Глав. астрон. обсерватория АН УССР,  
Киев

Поступила в редакцию 01.09.87,  
после доработки 13.10.87

## РЕФЕРАТ ПРЕПРИНТА

УДК 524.7

### СТАТИСТИЧЕСКОЕ ИССЛЕДОВАНИЕ ГАЛАКТИК МАРКАРЯНА В ОПТИЧЕСКОМ, ДАЛЬНЕМ ИНФРАКРАСНОМ И РАДИОДИАПАЗОНАХ/Изотов Ю. И., Изотова И. Ю.

(Препр. / АН УССР. Ин-т теорет. физики; ИТФ-88-109E)

Проведено статистическое исследование свойств галактик Маркаряна в оптическом, дальнем ИК- и радиодиапазонах. Получены функции светимости галактик в дальнем ИК- и радиодиапазонах. Показано, что незарегистрированные спутником IRAS сейфертовские галактики по характеристикам не отличаются от галактик Сейфера, наблюдавшихся в ИК-диапазоне. В то же время обнаружено статистически значимое различие между зарегистрированными и незарегистрированными в ИК-диапазоне Н II-галактиками. С использованием ранговых коэффициентов Спирмена для Н II-галактик показано существование тесной корреляции радиосветимости на длине волны 6.3 см с ИК-светимостью  $L_{FIR}$  и светимостью горячей составляющей пыли  $L_h$ . Сделан вывод о возникновении радио- и ИК-излучения в одних и тех же областях Н II-галактик — зонах интенсивного звездообразования. Отсутствие корреляционной связи массы газа  $M_H$  и полной массы галактики  $M_t$  с отношением инфракрасной светимости к оптической  $L_{FIR}/L_b$  объясняется независимостью темпа звездообразования в галактике от  $M_H$  и  $M_t$ . По мощности ИК-излучения оценена скорость образования О-звезд, которая для Н II-галактик равна  $3.3 M_\odot/\text{год}$ , а для сейфертовских галактик —  $5.9 M_\odot/\text{год}$ , что в несколько раз выше, чем у нормальных спиральных галактик.